

Cuntz-Krieger 環の生成元達の組み合わせ論的性質と関連する力学系のゼータ関数について

横浜市立大学 松本 健吾 (Kengo Matsumoto)

□ はじめに

この小文では、次の 2 つのプレプリントの内容を紹介します。

Ⓐ K. Matsumoto 「Cuntz-Krieger algebras and a generalization of Catalan numbers」

arXiv: 0607.517

Ⓑ W. Krieger & K. Matsumoto 「Zeta functions and topological entropy of the Markov Dyck shifts」

arXiv: 0706.3262

従って、この小文は W. Krieger との共同研究に基づいたものです。目標とするのは、次の表の ?①, ?②, ?③ を埋めることです。

?① と ?② は主に Ⓐ で取り上げ、?③ は Ⓑ のプレプリントで考えました。

$C^*$ 環	Cuntz環 $\mathcal{O}_N$	Cuntz-Krieger環 $\mathcal{O}_A$
組合せ論	( $N$ -色) カタラン数	?①
記号カ学系	Dyck shifts $D_N$	?②
カ学系の セータ関数	$\zeta_{D_N}(t)$ (G. Keller 1989) v. 53	?③

Cuntz環  $\mathcal{O}_N$  の生成元  $S_1, \dots, S_N$  は等距離作用素達で  $\sum_{j=1}^N S_j S_j^*$  を満たすものである。

これらの生成元  $S_1, \dots, S_N, S_1^*, \dots, S_N^*$  の組合せ論的性質はカタラン数で統制され、その生成元達のなす記号列からできる記号カ学系は、Dyck シフトと呼ばれるサブシフトになります。この Dyck シフトのカ学系のセータ関数は、

G. Keller: J. Combinatorial Theory 56(1991) 75-83  
 により求められています。そこで問題は、Cuntz環  
 の代わりに、Cuntz-Krieger環に一般化した場合に、  
 カタラン数や Dyck shifts や そのゼータ関  
 数がどのように一般化されるか？ という問いな  
 ります。

## □ カ学系のゼータ関数

ゼータ関数と言えは、Riemannゼータ関数

$$\zeta(s) = \sum_{n=1}^{\infty} \frac{1}{n^s} = \prod_{p:\text{素数}} (1-p^{-s})^{-1}$$

が、あまりにも有名ですか；これから登場するゼータ関数  
 は、そのカ学系への類似物であり、歴史的には

Selberg (1952) が Riemann面, <sup>の測りやすさ</sup>  
 Riemann対称空間  $V$  に対し

Artin-Mazur (1965) が  $C^{\infty}$  多様体上の可微分  
 同相写像  $\gamma$  に対し

Ruelle (1976) が カ学系のゼータ関数の定式化  
 と、統計学的観点からの研究

の論文等で、その定義が確立し、研究され始めたと言え  
 るでしょう。

以下  $X$  をコンパクトハウスドルフ空間,  $\phi$  をその上の同相写象とします。  $P_n(\phi)$ ,  $n=1, 2, \dots$  を  $\phi$  の  $n$ -周期的全体のなる集合

$$P_n(\phi) = \{x \in X \mid \phi^n(x) = x\}$$

を表わし,  $P_n(\phi)$  の個数を  $\#P_n(\phi)$  とします ( $P_n(\phi) = \infty$  の場合も, もちろんです)。この数数列

$$P_1(\phi), P_2(\phi), P_3(\phi), \dots$$

は力学系  $(X, \phi)$  の位相共役不変量に写ります。力学系のゼータ関数  $\zeta_\phi(t)$  はこの数数列  $\{P_n(\phi)\}_{n=1}^{\infty}$  をまとめ上げたものですが,  $P_n(\phi) = \infty$  になってほうと取り扱えないので, 以下

$$P_n(\phi) < \infty \quad \forall n=1, 2, 3, \dots$$

となる力学系  $(X, \phi)$  に限定して考えます。

**定義** (力学系のゼータ関数)

$P_n(\phi) < \infty \quad \forall n=1, 2, \dots$  となる力学系  $(X, \phi)$  に対し, そのゼータ関数を

$$\zeta_\phi(t) = \exp\left(\sum_{n=1}^{\infty} \frac{P_n(\phi)}{n} t^n\right)$$

と定義します。

$\exp$  の中身は無限級数なので、収束半径の問題、解析接続の問題、解析接続した後の関数の形や、零点の問題等、解析的な問題は重要ですが、ここでははさく、形式的な定義で考えます。

形式的には

$$\zeta_{\phi}(t) = 1 + p_1(\phi)t + \frac{1}{2}(p_2(\phi) + p_1(\phi)^2)t^2 + \\ + \frac{1}{6}(2p_3(\phi) + 3p_1(\phi)p_2(\phi) + p_1(\phi)^3)t^3 + \dots$$

+

$$\frac{d^n}{dt^n} \log \zeta_{\phi}(t) \Big|_{t=0} = n! \frac{p_n(\phi)}{n}$$

なので、ゼータ関数  $\zeta_{\phi}(t)$  から数列  $\{p_n(\phi), n=1, 2, \dots\}$  も復活できます。このゼータ関数はオイラー積表示

$$\zeta_{\phi}(t) = \prod_{\gamma: \text{周期軌道}} (1 - t^{|\gamma|})^{-1}$$

(但し、 $|\gamma|$  は周期軌道の周期の長さ) をもち、形式的に  $e^{-s} = t$ ,  $N(\gamma) \equiv e^{|\gamma|}$  とおくと、

$$\zeta_{\phi}(t) = \prod_{\gamma: \text{周期軌道}} (1 - N(\gamma)^{-s})^{-1}, \quad |t|^{-1} = \text{Re}(s)$$

となり, Riemann zeta 関数の形の類似であることがよく分ります。以下簡単な列を記号力学系を題材にして計算してみましょう。その際, 必要なのは初等的公式

$$\sum_{k=0}^{\infty} t^k = \frac{1}{1-t} \quad \text{とこの積分形}$$

$$\sum_{n=1}^{\infty} \frac{t^n}{n} = -\log(1-t)$$

だけである。

例 111  $(X, \phi) = (\cdot, \text{id})$   
1点.

$$P_n(\phi) = 1 \quad \forall n \in \mathbb{N} \text{ かつ } n \geq 1$$

$$\begin{aligned} Z_{\phi}(t) &= \exp\left(\sum_{n=1}^{\infty} \frac{t^n}{n}\right) \\ &= \exp(-\log(1-t)) \\ &= \frac{1}{1-t}. \end{aligned}$$

例 112  $(X, \phi) = (\{1, 2, \dots, N\}^{\mathbb{Z}}, \sigma) : N\text{-full shift}$


$$\text{すなわち } \sigma((x_i)_{i \in \mathbb{Z}}) = (x_{i+1})_{i \in \mathbb{Z}} : \text{シフト}$$

$n$ -周期点  $P_n(\sigma)$  は  $n$ 文字列  $\{1, 2, \dots, N\}^n$  で決まるので  $P_n(\sigma) = N^n$  となります。従って

$$\begin{aligned} \zeta_G(t) &= \exp\left(\sum_{n=1}^{\infty} \frac{N^n}{n} t^n\right) \\ &= \exp(-\log(1-Nt)) \\ &= \frac{1}{1-Nt} \end{aligned}$$

**例3**  $(X, \phi) = (X_G, \sigma)$ : 位相的マルコフシフト

$G = (V, E)$  を既約な有向有限グラフで, 頂点  $V$  の個数は  $N$  とします.  $A_G \in N \times N$  隣接行列とします. 例) えは..

$G$ :  なる  $A_G = \begin{bmatrix} 1 & 2 \\ 1 & 0 \end{bmatrix}$  かつ,

$$X_G = \left\{ (x_i)_{i \in \mathbb{Z}} \in E^{\mathbb{Z}} \mid \begin{array}{l} r(x_i) = s(x_{i+1}) \\ \forall i \in \mathbb{Z} \end{array} \right\}$$

$\pi = \pi \circ \sigma$

$r(x_i), s(x_{i+1})$  は辺  $x_i$  の終点, 辺  $x_{i+1}$  の始点です.  
無限直積位相  $E^{\mathbb{Z}}$  は  $J$ -コンパクトハウスドルフ空間で  $X_G$  は  $E^{\mathbb{Z}}$  の  $J$ -コンパクト部分集合です.

$\sigma_G: X_G \rightarrow X_G$  を  $\sigma_G((x_i)_{i \in \mathbb{Z}}) = (x_{i+1})_{i \in \mathbb{Z}}$  と定義したとき, 位相力学系  $(X_G, \sigma_G)$  をグラフ  $G$  から定義される位相的マルコフシフトと呼びます.

このとき, 頂点 ① から頂点 ② への辺の本数は

$$(A_G)^n(i, j) + 1 \text{ ので, } n\text{-周期点の個数は}$$

$$\begin{aligned} P_n(\sigma_G) &= \sum_{i=1}^N (A_G)^n(i, i) = \text{Tr}((A_G)^n) \\ &= \lambda_1^n + \dots + \lambda_N^n \end{aligned}$$

但し  $\{\lambda_1, \dots, \lambda_N\}$  は  $A_G$  の重複を許した固有値リストです。従って、ゼータ関数は

$$\begin{aligned} Z_{\sigma_G}(t) &= \exp\left(\sum_{n=1}^{\infty} \frac{\lambda_1^n + \dots + \lambda_N^n}{n} t^n\right) \\ &= \exp\left(\sum_{n=1}^{\infty} \frac{\lambda_1^n}{n} t^n\right) \times \dots \times \exp\left(\sum_{n=1}^{\infty} \frac{\lambda_N^n}{n} t^n\right) \\ &= \frac{1}{1 - \lambda_1 t} \times \dots \times \frac{1}{1 - \lambda_N t} \\ &= \frac{1}{\det(1 - A_G t)} \end{aligned}$$

と行列形式表示をもちます。この表示は Bowen-Lanford Formula (1970) と呼ばれています。

**例 4**  $(X, \phi) = (D_N, \sigma_{D_N})$ : Dyck シフト

$2 \leq N \in \mathbb{N}$  とし、 $\Sigma_N$  を  $N$ -種の括弧とします。

$$\Sigma_N = \{ (, (, \dots, (, )_N, \dots, )_2, )_1 \}$$

ここで括弧  $(i, )_j$   $n$ -次の演算を定義します。

$$(*) \quad (i, )_j = \begin{cases} 1 & (i=j) \\ 0 & (i \neq j) \end{cases}$$



このとき

$$\mathcal{F}_N = \{(\delta_1, \dots, \delta_n) \in \Sigma_N \times \dots \times \Sigma_N \mid \delta_1 \dots \delta_n = 0\}$$

と定義します。例えば

$$(1)_2, (2)_1, (1(2)_2)_2, (3(1)_1(2)_2)_4 \in \mathcal{F}_N$$

つまり、 $\mathcal{F}_N$  は 整合しない括弧の並みの集合です。

$$D_N = \left\{ (x_i)_{i \in \mathbb{Z}} \in \Sigma_N^{\mathbb{Z}} \mid (x_{k+1}, x_{k+2}, \dots, x_{k+m}) \notin \mathcal{F}_N \right. \\ \left. \forall k \in \mathbb{Z}, \forall m \in \mathbb{N} \right\}$$

よって  $D_N$  は 整合しない括弧列が現れない括弧列の両側無限列全体であり、 $\Sigma_N^{\mathbb{Z}}$  のコンパクト部分集合になります。  $\sigma_{D_N}: D_N \rightarrow D_N$  を例3と同様のシフトとすれば、位相力学系  $(D_N, \sigma_{D_N})$  を

Dyck シフトと呼びます。Dyck シフトは例3のマルコフシフトではなく、それはソビックシフトと呼ばれる色付有向有限グラフで現れるサブシフトでもありません。ソビックでない記号力学系のセータ関数を計算するのは一般にかなり難しく、殊に計算例が知られていません。ただ、このDyck シフトのセータ関数  $\zeta_{D_N}(t)$  については、G. Keller がカタラン数の母関数を使って、次のように計算しています。

定理 (G. Keller 1989)

$$\sum_{D_N} (x) = \frac{2(1 + \sqrt{1 - 4Nx^2})}{(1 - 2Nx + \sqrt{1 - 4Nx^2})^2}$$

Keller は Dyck shift の周期点の個数  $P_n(D_N)$  については、求めておきましょう。九州大学の浜地先生の 2003 の大学院生向けの井上さんによる  $P_n(D_N)$  は次のように計算されています。

定理 (K. Inoue)

$N=2$  のとき

$$P_n(D_2) = \begin{cases} 2 \left\{ 3^n - \sum_{i=0}^{\frac{n-1}{2}} \binom{n}{i} 2^i \right\} & (n: \text{奇数}) \\ 2 \left\{ 3^n - \sum_{i=0}^{\frac{n}{2}} \binom{n}{i} 2^i \right\} + \binom{n}{\frac{n}{2}} 2^{\frac{n}{2}} & (n: \text{偶数}) \end{cases}$$

## 2 Cuntz 環と Catalan 数

Cuntz 環  $\mathcal{O}_N$  の生成元  $S_1, \dots, S_N$  は等距離性作用素  
 $\ast$ ,  $S_i^\ast S_i = 1, i=1, \dots, N, \sum_{j=1}^N S_j S_j^\ast = 1$  を満たす。  
 従って,

(\*)

$$S_i^\ast \cdot S_j = \begin{cases} 1 & (i=j) \\ 0 & (i \neq j) \end{cases}$$

となります。  $S_1^*, \dots, S_N^*, S_1, \dots, S_N$  の word (有限個の種類) で  $\circ$  になるのは  $(\star)$  で  $\circ$  になるときに限るので、先の Dyck shift は

$$S_i^* \leftrightarrow C_i, \quad S_i \leftrightarrow D_i$$

と対応させるとより

$$D_N = \left\{ (\gamma_i)_{i \in \mathbb{Z}} \mid \begin{array}{l} \gamma_i = S_j^* \text{ or } S_j; \\ \gamma_{k+1} \cdot \gamma_{k+2} \cdots \gamma_{k+m} \neq \circ \text{ in } \mathcal{O}_N \\ \forall k \in \mathbb{Z}, \forall m \in \mathbb{N} \end{array} \right\}$$

と見えます。

さて, Catalan 数  $C_n, n=0,1,2,\dots$  は, 次で定義される数列です。

$$C_n = \frac{1}{n+1} \binom{2n}{n} \quad \left( = \binom{2n}{n} - \binom{2n}{n-1} \right)$$

$$n = 0, 1, 2, 3, \dots$$

よって,  $1, 1, 2, 5, 14, 42, \dots$  となります。  
 $\begin{array}{cccccc} 1 & 1 & 2 & 5 & 14 & 42 & \dots \\ \parallel & \parallel & \parallel & \parallel & \parallel & \parallel & \\ C_0 & C_1 & C_2 & C_3 & C_4 & C_5 & \end{array}$

Catalan 数は自然界の様々な物の数え上げに現れる数で;

R. Stanley 「Enumerative Combinatorics vol 2」には, なんと

と 66 種の例が書いてあります。次は, その中の有名な

3 つです。

$$C_n = \# \{ \text{上り} \nearrow n \text{本, 下り} \searrow n \text{本の山脈の形} \}$$

例えは



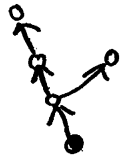
$$= \# \{ 2n \text{ 個の整合した括弧} \}$$

例えは

$(( ( ) ) ( ) )$

$$= \# \{ n \text{ 本の枝からなる根付き木} \}$$

例えは



一番上の上り  $n$  本下り  $n$  本の山脈の形は Dyck path  
とも呼ばれています。詳しく置くと

$$n=1 \quad \begin{array}{c} \nearrow \\ \searrow \end{array} \quad \therefore C_1 = 1$$

$$n=2 \quad \begin{array}{c} \nearrow \\ \searrow \end{array}, \quad \begin{array}{c} \nearrow \\ \searrow \end{array} \begin{array}{c} \nearrow \\ \searrow \end{array} \quad \therefore C_2 = 2$$

$$n=3 \quad \begin{array}{c} \nearrow \\ \searrow \end{array}, \quad \begin{array}{c} \nearrow \\ \searrow \end{array} \begin{array}{c} \nearrow \\ \searrow \end{array}, \quad \begin{array}{c} \nearrow \\ \searrow \end{array} \begin{array}{c} \nearrow \\ \searrow \end{array}$$

$$\begin{array}{c} \nearrow \\ \searrow \end{array} \begin{array}{c} \nearrow \\ \searrow \end{array}, \quad \begin{array}{c} \nearrow \\ \searrow \end{array} \begin{array}{c} \nearrow \\ \searrow \end{array} \quad \therefore C_3 = 5$$

⋮

$$\begin{array}{l} \text{そこで} \\ S_i^* \leftrightarrow \nearrow^i \\ S_i \leftrightarrow \searrow^i \end{array} \quad \begin{array}{l} \text{上ハイル } i \text{ の上 } \\ \text{ニ } \\ \text{下 } \end{array}$$

と対応させる

$$\forall \gamma = (\gamma_1, \dots, \gamma_{2n}), \quad \gamma_i = S_i^* \text{ or } S_i \quad \text{ただし}$$

$$\gamma_1 \cdots \gamma_{2n} = 1 \text{ in } \mathcal{O}_N \quad \text{と成りたぬの必要かつ}$$

十分条件は

$$\gamma = (\gamma_1, \dots, \gamma_{2n}) \text{ がある Dyck path を与えた}$$

ことになります。従って、

$$\Sigma_N = \{ S_1^*, \dots, S_N^*, S_1, \dots, S_N \};$$

$$C_n^{(N)} \equiv \# \left\{ (\gamma_1, \dots, \gamma_{2n}) \mid \gamma_i \in \Sigma_N, \forall i=1, \dots, 2n; \right. \\ \left. \gamma_1 \cdots \gamma_{2n} = 1 \text{ in } \mathcal{O}_N \right\}$$

とおいたとき

$$\boxed{\text{命題}} \quad C_n^{(N)} = N^n \times C_n, \quad n=0, 1, 2, \dots$$

となります。この  $C_n^{(N)}$  という数は、組込み組合せ論では、 $N$ 色カタラン数と呼ばれているものです。以上の  $Cuntz$  環の生成元と Catalan 数の対応は、難しいものではありません。Voiculescu, Bocklandt 他自由確率論を研究している人達には既に良く知られていることのようにです。

③ Dyck shifts と Catalan 数の Cuntz-Krieger 環  
による一般化。

今までの議論は, Cuntz 環  $\mathcal{O}_N$  の生成元達を用  
いて行いましたが, Cuntz 環を一般化した Cuntz-Krieger 環  
での議論を一般化しましょう。

$G = (V, E)$  を有向有限グラフとします。その 0-1  
推移行列  $A^G$  を  $e, f \in E$ : 有向辺に対して

$$A^G(e, f) = \begin{cases} 1 & \text{if } \underline{e \rightarrow f} \\ 0 & \text{otherwise} \end{cases}$$

と定義します。グラフ  $G$  に対する Cuntz-Krieger 環  
 $\mathcal{O}_{A^G}$  は部分等距離性作用素  $S_e, e \in E$  で生成さ  
れた普通  $C^*$  環で, 関係式は

$$\begin{cases} S_e^* S_e = \sum_{f \in E} A^G(e, f) S_f S_f^*, \\ \sum_{f \in E} S_f S_f^* = 1 \end{cases}$$

です。特々  $G =$    $N$ -edges, 頂点 1 個

のとき  $A^G = \begin{bmatrix} 1 & \dots & 1 \\ \vdots & & \vdots \\ \vdots & & \vdots \end{bmatrix}$  となり,  $\mathcal{O}_{A^G} = \mathcal{O}_N$  となります。

さてグラフ  $G$  に対して

$$\Sigma_G = \{ S_e^*, S_e \mid e \in E \}$$

と決めます。

$$\mathcal{F}_G = \left\{ (\delta_1, \dots, \delta_m) \in \sum_G \times \dots \times \sum_G \mid \delta_1 \dots \delta_m = \mathbf{0} \right. \\ \left. \text{in } \mathcal{O}_{AG} \right\}$$

と禁止語を決めて,

**定義** (位相的スリフトグラフ)

$$D_{AG} = \left\{ (x_i)_{i \in \mathbb{Z}} \mid x_i \in \sum_G, i \in \mathbb{Z}, \right. \\ \left. x_{k+1} \dots x_{k+m} \notin \mathcal{F}_G \quad \forall k \in \mathbb{Z}, \forall m \in \mathbb{N} \right\}$$

特に

$$G = \text{circle with } N \text{ edges のとき } D_{AG} = D_N \text{ グラフになります。}$$

Cuntz-Krieger のように、 $G$  が Condition (I) を満たすとは、(1) 任意の頂点に入ってくる辺と出ていく辺が必ずあり、(2) 任意の頂点から何本かの辺を通して、必ず異なる2個以上の頂点に到達できることを言います。これを

**命題**  $G$  が Condition (I) を満たすならば、サブグラフ

$D_{AG}$  は ソニック にならない。

そこで、これから、このサブグラフ  $D_{AG}$  のゼータ関数を  $\zeta_{D_{AG}}(t)$  を求めてみましょう。そのために、先に現れた  $N$  色カタラン数を一般のグラフ  $G$  に対して、一般化が必要があるので。

そこで頂点  $v \in V$  に対して、射影  $P_v = \sum_{\text{射影} \rightarrow v} S_f S_f^*$

と表します。すると



$$\cdot P_v P_u = 0 \quad (v \neq u)$$

$$\cdot S_e^* S_f = \begin{cases} P_{\tau(e)} & (e=f), \tau(e) \text{ は } e \text{ の終点,} \\ 0 & (e \neq f) \end{cases}$$

を満ちます。辺集合  $E \in E = \{e_1, \dots, e_{|E|}\}$  とすると、

$$\Sigma_G = \{S_{e_1}^*, \dots, S_{e_{|E|}}^*, S_{e_1}, \dots, S_{e_{|E|}}\}$$

と成ります。そこで

$C_n$  環  $\mathcal{O}_{|E|}$  を用意し、その等距離生成元達を  $R_1, \dots, R_{|E|}$

と書き、対応  $\bar{\Phi}_G : \Sigma_G \rightarrow \Sigma_{|E|} = \{R_i^*, R_i \mid i=1, \dots, |E|\}$

を  $\bar{\Phi}_G(S_{e_i}^*) = R_i^*, \bar{\Phi}_G(S_{e_i}) = R_i, i=1, \dots, |E|$

と定義します。

**定義** ( $G$ -Catalan words,  $G$ -Catalan 数)

$$B_n^G = \left\{ (X_1, \dots, X_{2n}) \mid \begin{array}{l} X_i \in \Sigma_G, i=1, \dots, 2n; \\ X_1 \cdots X_{2n} \neq 0 \text{ in } \mathcal{O}_{AG} \\ \bar{\Phi}_G(X_1) \cdots \bar{\Phi}_G(X_{2n}) = 1 \text{ in } \mathcal{O}_N \end{array} \right\}$$

を  $G$ -Catalan words と呼ぶ。

$$C_0^G \equiv \#V (=N)$$

$$C_n^G \equiv \#B_n^G, \quad n=1, 2, \dots$$

を  $G$ -Catalan 数 と定義します。

例えば、

$$(S_{e_2}^*, S_{e_1}^*, S_{e_1}, S_{e_2}) \text{ は } \tau(e_1) = s(e_2) \text{ と成る。}$$



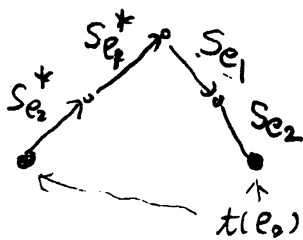
$G$ -catalan word に対し, 積を計算する

$$S_{e_2}^* S_{e_1}^* S_{e_1} S_{e_2} = S_{e_2}^* \left( \sum_{f \in E} A^G(e_1, f) S_f S_f^* \right) S_{e_2}$$

$$= \sum_{f \in E} A^G(e_1, f) S_{e_2}^* S_f S_f^* S_{e_2}$$

$$= A^G(e_1, e_2) S_{e_2}^* S_{e_2} = S_{e_2}^* S_{e_2}$$

$$= P_{t(e_2)}$$



と山の登り口 (= 下り口) の頂点への射影になります。

これはどんな  $G$ -Catalan word に対しても正しく,  
勝手な  $X = (X_1, \dots, X_{2n}) \in B_n^G$  に対し, 唯一頂点

$v(X) \in V$  が存在して (登り口 (= 下り口) の頂点),

$$X_1 X_2 \dots X_{2n} = P_{v(X)} \quad \text{in } \mathcal{O}_{AG}$$

と証明は確か, 簡単にわかります。次の補題も分けて

**補題** 勝手な  $X = (X_1, \dots, X_{2n+2}) \in B_{n+1}^G$  に対し,

次のように一意的に分解できる。

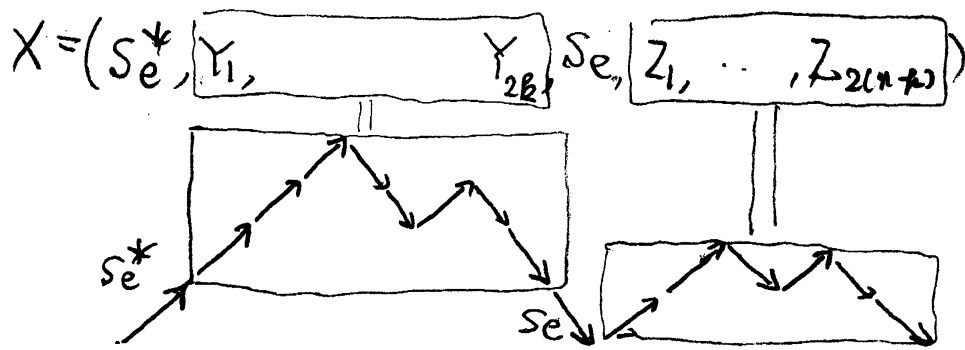
$$X = (S_{e_1}^*, Y_1, \dots, Y_{2k}, S_{e_1}, Z_1, \dots, Z_{2(n-k)})$$

$$\text{但し } (Y_1, \dots, Y_{2k}) \in B_k^G,$$

$$(Z_1, \dots, Z_{2(n-k)}) \in B_{n-k}^G$$

です。

これは次のような絵を書けば一意に分るでしょう。



頂点  $V = \{v_1, \dots, v_N\}$  とします。  $i=1, \dots, N$  に対して

$$B_m^G(i) = \{(x_1, \dots, x_{2n}) \in B_m^G \mid x_1 \dots x_{2n} = P_{v_i}\}$$

$$C_0^G(i) = 1$$

$$C_m^G(i) = \# B_m^G(i)$$

と定義します。これは頂点  $v_i$  の根をもつ  $G$ -Catalan数です。グラフ  $G$  の頂点の隣接行列を  $A_G$  とします

$$A_G(i, j) = \#\{e \in E \mid \textcircled{v_i} \xrightarrow{e} \textcircled{v_j}\}$$

$$i, j = 1, \dots, N.$$

先の補題から、次の命題が瞬間芸でわかります。

**命題**

$$(1) \quad C_m^G = \sum_{i=1}^N C_m^G(i)$$

$$(2) \quad C_{m+1}^G(i) = \sum_{k=0}^m \sum_{j=1}^N C_k^G(j) A_G(j, i) C_{m-k}^G(i)$$

ここで、この頂点  $v_i$  の根、 $\pi$  をもつ Catalan 数  $C_n^G(v_i)$  を求めるため、組み合わせ論では常套手段となる母関数も考えましょう。

$$f_i^G(x) = \sum_{n=0}^{\infty} C_n^G(v_i) x^n, \quad i=1, \dots, N$$

$$f^G(x) = \sum_{n=0}^{\infty} C_n^G x^n \quad \text{とします。}$$

このとき、次の定理は先の隣接基命題の言い換えです。  
の前半

**定理**

$$(1) \quad f^G(x) = \sum_{i=1}^N f_i^G(x)$$

(2) 関数連  $f_1^G(x), \dots, f_N^G(x)$  は次の式 (\*)

$$(*) \quad f_i^G(x) = 1 + x \sum_{j=1}^N f_j^G(x) A_G(j, i) f_i^G(x), \quad i=1, \dots, N$$

を満たし、原点の近傍で、この関係式 (\*) が成り立ち、一意的に決まる。またこの関数連  $f_i^G(x), i=1, \dots, N$  は原点の近傍で何回でも微分可能である。

証明<sup>の後半</sup>には、微積分の道具として陰関数定理を使います。私は生まれて初めて、陰関数定理を自分の研究で使いました。まさか Cuntz-Krieger 環の研究で陰関数定理を使うとは夢にも思いませんでした(びっくり)。

次の母関数  $f_i^G(x)$  の収束半径を調べたいと思います。  
 また、 $R_i^G$  を  $f_i^G(x) = \sum_{n=0}^{\infty} C_n^G(i)x^n$  の収束半径とします。  
 ガウス系  $\mathcal{G}$  の Zeta 関数の一般論は  $R_i^G > 0$  は分ります。さ  
 らに次がすぐわかります。

$$1^\circ, R_i^G \geq \frac{1}{4 \|A_G\|_1}, \quad i=1, \dots, N$$

$$2^\circ, R_i^G = R_j^G \quad \forall i, j=1, \dots, N, \text{ かつ } G \text{ は既約です。}$$

$$\text{つまり } \|A_G\|_1 = \max_{1 \leq i \leq N} \sum_{j=1}^N A_G(j, i) \text{ です。}$$

実際、 $1^\circ$  のことは先の命題(2)の関係式から、

$$C_n^G(i) \leq (\|A_G\|_1)^n C_n \text{ がかかっているので、}$$

$4 = \lim_{n \rightarrow \infty} \sqrt[n]{C_n}$  より、わかります。 $2^\circ$  のことは、

$$C_{n+1}^G(i) \geq C_n^G(j) A_G(j, i) C_0^G(i) \text{ であり、}$$

$$A_G(j, i) \neq 0 \text{ であれば } C_{n+1}^G(i) \geq C_n^G(j)$$

を得て、証明されます。

既約なグラフ  $G$  については、 $2^\circ$  から  $f^G(x) = \sum_{n=0}^{\infty} C_n^G x^n$   
 の収束半径は、共通の  $R_i^G$  になります。この値を  $R_G$   
 とおきます。 $N$  個の実数  $\epsilon_1, \dots, \epsilon_N$  に対して、新しい  $N \times N$   
 (行列)  $\epsilon A_G \epsilon$  を  $(\epsilon A_G \epsilon)_{(i,j)} = \epsilon_i A_G(i,j) \epsilon_j$   
 と定義します。これを、微積分の授業で習う条件  
 付極値問題の解法を用いると、次が証明  
 できます(私は、微積分は Cuntz-Krieger 環に有用だ!と言いたい)。

**命題** 実数  $\lambda_0$  が収束半径  $R_G$  であるならば,  $N$  個の正の実数  $t_1, \dots, t_N$  が存在して, 次の2つの等式を満たす。

$$\begin{cases} \text{(i)} & \det(t A_G t - \lambda_0) = 0 \\ \text{(ii)} & \lambda_0 = t_i - \sum_{j=1}^N t_j A_G(j, i) t_j \\ & \forall i=1, \dots, N \end{cases}$$

つまり,  $\lambda_0$  は行列  $t A_G t$  の固有値として (ii) で実現されるということである。また, 特異, 固有値  $\lambda_0$  に対する固有ベクトル  $[S_i]_{i=1}^N$  で  $\sum_{i=1}^N S_i = 1$  となるものが存在して,

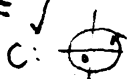
$$\lambda_0 = \frac{1}{2} \sum_{i=1}^N t_i S_i \quad \text{となります。}$$

従って 収束半径は「行列」の固有値として, 代数的に求めることが可能です。

次に, 母関数達  $f_i^G(x)$  から  $G$ -catalan数達  $C_m^G(i)$  を求める方法を考えてみましょう。もし  $f_i^G(x)$  が具体的にわかるとすると, そのテイラー展開の係数である  $C_m^G(i)$  達は, 以下に示す次の formula

$$C_m^G(i) = \frac{1}{m!} \frac{d^m f_i^G(x)}{dx^m} (0) = \frac{1}{2\pi i} \int_C \frac{f_i^G(z)}{z^{m+1}} dz$$

原点回  
左回  
一周



で求めることができます。しかし, 一般には, 具体的な行列  $A_G$  から, 関数式 (\*) ( $2^{\text{nd}}$ - $i$  前の定理) を満たす関数達  $f_i^G(x)$  を求めるのは非常に難しく,

この formula を使って  $C_n^G(i)$  を求めることは、現実的ではないにやがわかります。そこで係数  $C_n^G(i)$  を求めるために、まず関数  $f_i^G(z)$  を求めたという発想を改めて、関係式 (\*) からいきなり  $C_n^G(i)$  を求めるという戦法に変えます。

$$F_i(w_1, \dots, w_N) = \sum_{j=1}^N (w_j + 1) A_G(j, i) (w_N + 1)$$

$$w_i(z) = f_i^G(z) - 1, \quad i=1, \dots, N$$

とします。関係式 (\*) から

$$\frac{1}{z} = \frac{F_i(w_1, \dots, w_N)}{w_j(z)} \quad \text{より} \quad f_i^G(z)' = w_i'(z)$$

です。

$$\lim_{z \rightarrow 0} \frac{w_i(z)}{z} = F_i(w_1(0), \dots, w_N(0)) = \sum_{j=1}^N A_G(j, i) > 0$$

よって、 $w_i(z)$  の原点の  $\square$  の回転数は 1 です。

よって

$$\begin{aligned} C_n^G(i) &= \frac{1}{2\pi\sqrt{-1}n} \int_C \frac{f_i^G(z)'}{z^n} dz \\ &= \frac{1}{2\pi\sqrt{-1}n} \int_C \frac{F_i(w_1, \dots, w_N)^n}{w_j(z)^n} \times w_i'(z) dz \end{aligned}$$


となります。結局積分式

$$\boxed{\text{命題}} \quad C_n^G(i) = \frac{1}{2\pi\sqrt{-1}n} \int_C \frac{F_i(w_1, \dots, w_N)^n}{(w_j)^n} dw_i$$

$i, j=1, \dots, N$

が成り立ちます。右辺の  $j$  は  $i$  と無関係です。

#### ④ 具体例.

1°  $G_1$ :   $N$ -loops としよ。  $A_G = [N]$  としよ。

$$f^{G_1}(x) = f_1^{G_1}(x),$$

$$f_1^{G_1}(x) = 1 + x N f_1^G(x)^2 \quad \text{よし}$$

$$f^{G_1}(x) = \frac{1 - \sqrt{1 - 4Nx}}{2xN}$$

∴ 分子の  $\sqrt{\quad}$  の前の符号は  $\lim_{x \rightarrow 0} f^G(x) = C_0^G = 1$  よし  
 としよ。  $\sqrt{\quad}$  の中は  $\exists$  非負なので、  $R_G = \frac{1}{4N}$   
 はすぐわかっておかし、2 $\pi$ -シ前の方法によっても  $R_G$  は  
 次のように求められます。連立方程式

$$\begin{cases} tNt - x_0 = 0 \\ x_0 = t - tNt \end{cases}$$

よし  $t = \frac{1}{2N}$ ,  $x_0 = \frac{1}{4N}$  としよ。4乗半径とす。

$F(w) = N \cdot (w+1)^2$  としよ、  $C_n^G$  としよ。先の積分公式よし

$$\begin{aligned} C_n^G &= \frac{1}{2\pi\sqrt{1-n}} \int_C \frac{F(w)^n}{w^n} dw \\ &= \frac{1}{2\pi\sqrt{1-n}} \int_C \frac{N^n (w+1)^{2n}}{w^n} dw \\ &= \frac{N^n}{n} \frac{1}{2\pi\sqrt{1-n}} \int_C \sum_{k=0}^{2n} \binom{2n}{k} w^{k-n} dw \\ &= \frac{N^n}{n} \binom{2n}{n-1} = N^n \times C_n, \end{aligned}$$

となり  $N$  個 Catalan 数が得られます。

$$2^\circ G_2: \text{Diagram} \therefore A_{G_2} = \begin{bmatrix} 1 & 1 \\ 1 & 0 \end{bmatrix}$$

簡単のため  $f_i^{G_2}(x)$  を  $f_i(x)$  とおき、関係式(\*)は

$$\textcircled{1} f_1(x) = 1 + x(f_1(x) + f_2(x)) \cdot f_1(x)$$

$$\textcircled{2} f_2(x) = 1 + x f_1(x) \cdot f_2(x)$$

この連立方程式を解くとようになります。すなわち、 $f_2(x)$  は

次の3次方程式  $x(f_2(x))^3 - f_2(x) - 1 = 0$  の解となり

$f_1(x) = f_2(x)^2$  となりこれをかかると、求めるべき

式を得ます。4次元半径  $R_{G_2}$  は次の連立方程式の解  $x_0$

$$\textcircled{A} \det \left( \begin{bmatrix} t_1^2 & t_1 t_2 \\ t_2 t_1 & 0 \end{bmatrix} - \begin{bmatrix} x_0 & 0 \\ 0 & x_0 \end{bmatrix} \right) = 0$$

$$\textcircled{B} x_0 = t_1 - (t_1 + t_2)t_1$$

$$\textcircled{C} x_0 = t_2 - t_1 t_2$$

である、これを解くと  $x_0 = \frac{4}{27}$ ,  $t_1 = \frac{1}{3}$ ,  $t_2 = \frac{2}{9}$

となります。  $G_2$ -Catalan 数  $C_n^{G_2} = C_n^{G_2(1)} + C_n^{G_2(2)}$  の

計算は先の積分公式を用い、2次のようにします。

$$F_1(W_1, W_2) = \{(W_2+1) + (W_1+1)\} (W_1+1)$$

$$F_2(W_1, W_2) = (W_1+1)(W_2+1) = (W_2+1)^3$$

$$\therefore F_2(W_1, W_2)^n = (W_2+1)^{3n},$$

$$W_1'(x) = \{(W_2+1)^2\}' = 2(W_2+1)W_2'(x) \quad \text{より}$$



$$\begin{aligned}
C_n^{G_2}(1) &= \frac{1}{n} \frac{1}{2\pi\sqrt{-1}} \int_C \frac{F_2(W_1(z), W_2(z))^n}{W_2(z)^n} W_1'(z) dz \\
&= \frac{1}{n} \frac{1}{2\pi\sqrt{-1}} \int_C \frac{(W_2(z)+1)^{3n}}{W_2(z)^n} 2(W_2(z)+1) W_2'(z) dz \\
&= \frac{2}{n} \frac{1}{2\pi\sqrt{-1}} \int_C \frac{(W_2+1)^{3n+1}}{W_2^n} dW_2 \\
&= \frac{2}{n} \frac{1}{2\pi\sqrt{-1}} \int_C \sum_{k=0}^{3n+1} \binom{3n+1}{k} W_2^{k-n} dW_2 \\
&= \frac{2}{n} \binom{3n+1}{n-1}
\end{aligned}$$

同様の計算で

$$C_n^{G_2}(2) = \frac{1}{n} \binom{3n}{n-1} \text{ かわかれます。}$$

よって  $G_2$ -Catalan 数  $C_n^{G_2} = C_n^{G_2}(1) + C_n^{G_2}(2)$  は

$$C_n^{G_2} = \frac{2}{n} \binom{3n+1}{n-1} + \frac{1}{n} \binom{3n}{n-1}$$

$$C_n^{G_2} = \frac{2}{n+1} \binom{3n}{n}, \quad n=0, 1, 2, \dots$$

最初の方は

$$\begin{array}{cccccc}
2, & 3, & 10, & 42, & 198, & \dots \\
\binom{1}{0}^{G_2} & \binom{1}{1}^{G_2} & \binom{2}{2}^{G_2} & \binom{3}{3}^{G_2} & \binom{4}{4}^{G_2} & \dots
\end{array}$$

となります。これを Catalan 数の Fibonacci 版と呼んでも

良いでしょう。こゝで  $f_1(x) = f_2(x)^2$  となるので、

$$C_n^{G_3}(1) = \sum_{k=0}^n C_k^{G_3}(2) C_{n-k}^{G_3}(2)$$

という関係がわかります。よって

$$\frac{2}{n} \binom{3n+1}{n-1} = \sum_{k=0}^n \frac{1}{k} \binom{3k}{k-1} \frac{1}{n-k} \binom{3n-3k}{n-k-1}$$

という恒等式が成り立ちます。

## 5 マルコフタイルタイルの Zeta 関数

③ で定義したマルコフタイルタイル  $D_{A_G}$  を簡単  $D_G$  とします。

このタイルのアルファベット  $\Sigma_G$  は, Cuntz-Krieger 環  $\mathcal{O}_{A_G}$  の生成元  $S_e, (e \in E)$  を使って  $\Sigma_G = \{S_e^*, S_e \mid e \in E\}$  とかき表す。これから求めるこの Zeta 関数を  $\zeta_{D_G}(t)$  とかきましよう。

$N = \#V$ : 頂点の個数 と,  $G$ -Catalan 数  $C_n^G$  の母関数達  $f_1^G(x), \dots, f_N^G(x)$  に対して, それを対角に並べた行列値関数  $F^G(t)$  を

$$F^G(t) = \begin{bmatrix} f_1^G(t^2) & & 0 \\ & \ddots & \\ 0 & & f_N^G(t^2) \end{bmatrix} \quad \text{と定義します。}$$

このとき

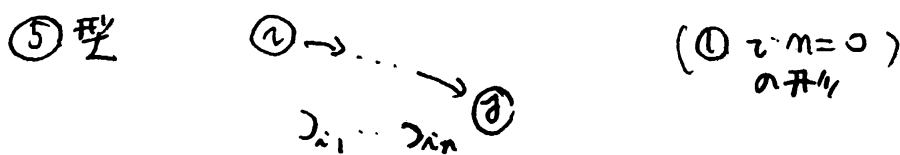
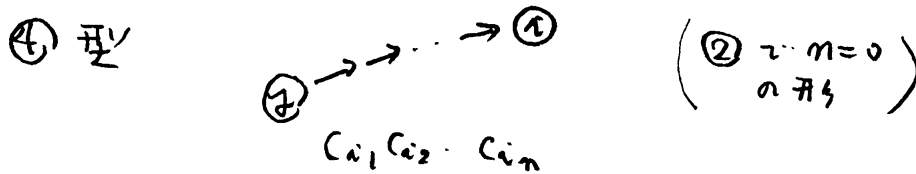
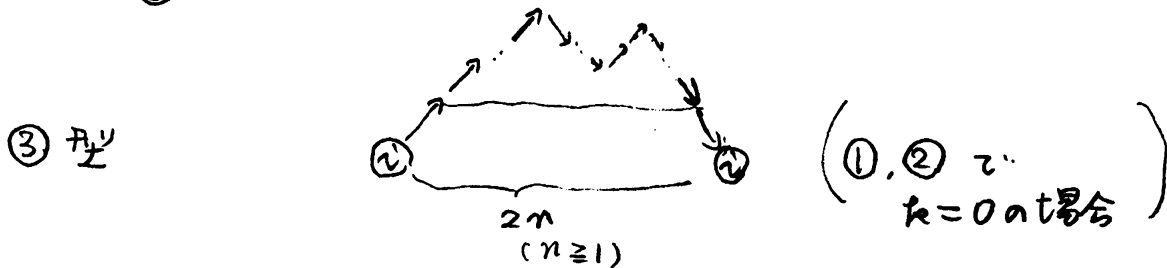
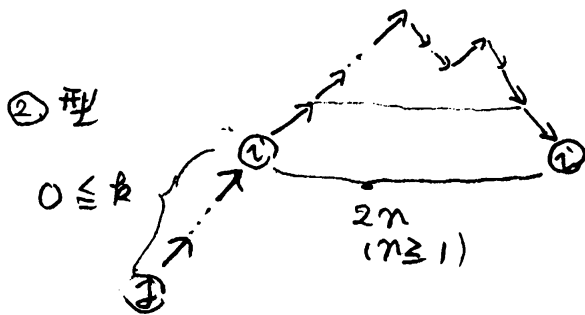
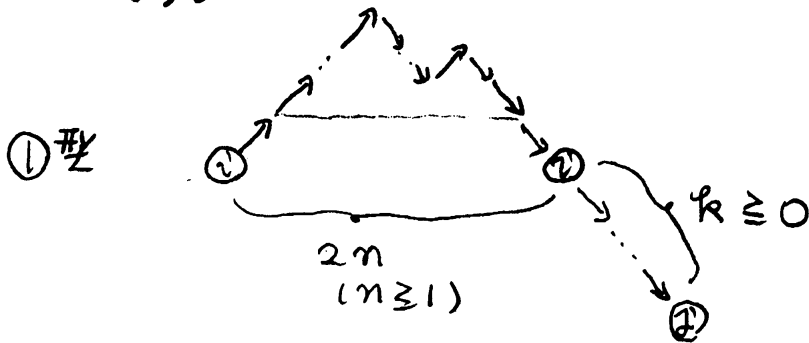
定理 (Krieger-松本)

$$\zeta_{D_G}(t) = \frac{1}{\det\left(\left(F^G(t)^{-1} - tA_G\right)\left(1 - tF^G(t)A_G\right)\right)}$$

$$\left( = \frac{\det(F^G(t))}{\det\left(\left(L - tF^G(t)A_G\right)^2\right)} \right)$$

以下の証明の考え方を書きます。

タタクシフトの周期点は、周期を構成するブロックよりなり  
 ますので、その周期ブロックに着目することにより、5種類  
 に分けます。



タタクシフト  
 の部分

③型は、①、②型の特別な場合であり、これ以外のこれ以外の型はみな互いに disjoint なので、

$$\{D_G \text{ の周期点} \} = \{(\textcircled{1} \cup \textcircled{2}) \setminus \textcircled{3}\} \cup (\textcircled{4} \cup \textcircled{5})$$

となります。また、力学系のゼータ関数の定義より

「周期点の和 = ゴの積」  
(U合併)

となります。

$$\begin{aligned} \textcircled{1} \quad \zeta_{X \cup Y}(t) &= \exp\left(\sum_{n=1}^{\infty} \frac{P_n(X \cup Y)}{n} t^n\right) \\ &= \exp\left(\sum_{n=1}^{\infty} \frac{P_n(X) + P_n(Y)}{n} t^n\right) \\ &= \exp\left(\sum_{n=1}^{\infty} \frac{P_n(X)}{n} t^n\right) \times \exp\left(\sum_{n=1}^{\infty} \frac{P_n(Y)}{n} t^n\right) \\ &= \zeta_X(t) \times \zeta_Y(t) \end{aligned}$$

よって

$$\zeta_{D_G} = \frac{\zeta_{\textcircled{1}} \times \zeta_{\textcircled{2}}}{\zeta_{\textcircled{3}}} \times \zeta_{\textcircled{4}} \times \zeta_{\textcircled{5}}$$

ここで、④、⑤の部分の Zeta 関数はコルコフシフの部分なので

$$\zeta_{\textcircled{4}}(t) = \frac{1}{\det(1 - t A_G^t)}$$

$$\zeta_{\textcircled{5}}(t) = \frac{1}{\det(1 - t A_G)}$$

$A_G$  の transpose

です。  
( $\therefore \zeta_{\textcircled{4}} = \zeta_{\textcircled{5}}$ )

**補題** (i)  $\zeta_{\textcircled{3}}(t) = \prod_{i=1}^N f_i^G(t^2)$

(ii)  $\zeta_{\textcircled{1}}(t) = \zeta_{\textcircled{2}}(t) = \frac{1}{\det(I - D^G(t)(I - tA_G)^{-1})}$

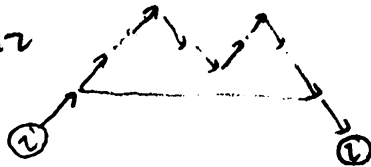
但し

$$D^G(t) = \begin{bmatrix} g_1(t) & & 0 \\ & \ddots & \\ 0 & & g_N(t) \end{bmatrix}, \quad g_i(t) = 1 - \frac{1}{f_i^G(t^2)}$$

(証明の概略)

(i)  $i=1, \dots, N$  に対し

$$C_i = \{$$



途中に下ツロがない  
山の全体

とあり、これは circular code と呼ばれるもの  
あります。Circular code とは  $C_i$  の元の自由連接からなる  
両側無限列  $C_i^\infty$  の周期的なものは、一意的に  $C_i$  の元  
達に分解できる words の集を言います。  $C_i$  の元  
の自由連接からなる単語全体を  $C_i^*$  で表わすと、  
 $C_i^* = \bigcup_n B_n^G(i)$  となります。  $\textcircled{3}$  型の中で、根、  
(登り口)の頂点が  $i$  のものを  $\textcircled{3}_i$  で表わすと、その  
zeta 関数  $\zeta_{\textcircled{3}_i}(t)$  は、従って、  $\zeta_{C_i^\infty}(t)$  です。  
一般に circular code  $C$  に対しては、その自由連  
接からなる両側無限列  $C^\infty$  の zeta 関数  $\zeta_{C^\infty}(t)$   
と自由連接でできる有限単語全体  $C^*$  の田関数

$g_{C^*}(t)$  は一致するのて、

$$\zeta_{\textcircled{3}i}(t) = \zeta_{C_i^\infty}(t) = g_{C_i^*}(t).$$

となります。

$$\text{--- } g_{C_i^*}(t) = g_{\cup_n B_n^*(i)}(t) = f_i^G(t^2)$$

たすのて、

$$\zeta_{\textcircled{3}i}(t) = f_i^G(t^2) \quad \text{となり}$$

$$\zeta_{\textcircled{3}}(t) = \prod_{i=1}^N \zeta_{\textcircled{3}i}(t) = \prod_{i=1}^N f_i^G(t^2) \quad \text{となります。}$$

(ii)

冒頭の③の preprint で、Markov 性をもつ Circular Code とは Circular Markov code という概念を導入し、Circular code に対応する Zeta 関数の公式  $\zeta_{C^\infty}(t) = \frac{1}{1-g_C(t)}$  と Markov シフトに対応する Zeta 関数の公式  $\zeta_{X_A}(t) = \frac{1}{\det(1-tA)}$  を統合しました。①型、②型はその Circular Markov code という概念にあてはまり、その統合された公式からこの (ii) の公式が導かれます。詳細は preprint ③か、G. Keller の先の論文を見ていただく方がよいと思います。すいません。この補題により、定理が証明されることとなります。□

記号力学系の重要な位相不変量として位相エントロピーがあります。位相エントロピー  $h_{\text{top}}(\Lambda)$  はサブシフト  $\Lambda$  に対して、現れる長さ  $n$  の単語の指數的増大度を計る量で

$$h_{\text{top}}(\Lambda) = \lim_{n \rightarrow \infty} \frac{1}{n} \log \#B_n(\Lambda)$$

で定義されます。ここで  $\#B_n(\Lambda)$  は  $\Lambda$  に現れる長さ  $n$  の単語全体の個数です。  $\Lambda$  の  $n$ -周期点の個数を  $P_n(\Lambda)$  とすると、もちろん  $P_n(\Lambda) \leq \#B_n(\Lambda)$  ですが、 $\mathbb{Z}$  の  $n$ -タイル  $D_G$  の場合は次が成り立ちます。


**命題** 
$$h_{\text{top}}(D_G) = \lim_{n \rightarrow \infty} \frac{1}{n} \log P_n(D_G)$$

これより先の定理の系として

**系** 
$$h_{\text{top}}(D_G) = \frac{\log \det(1 - \tau F^G(\tau) A_G)}{\log \tau}$$
 の  
最小な正の実解の  $\log$

かめかかります。

最後の例の計算を行います。グラフ  $G$  として、先のグラフ

$G_2$   を考えます。  $A_{G_2} = \begin{bmatrix} 1 & 1 \\ 1 & 0 \end{bmatrix}$  です。

$$f_n^{G_2}(x) = f_n(x), \quad n=1, 2 \text{ に対して}$$

$$\begin{cases} f_1(x^2) = f_2(x^2)^2 \\ f_2(x^2) = 1 + x^2 f_2(x^2)^3 \end{cases} \text{ であり、}$$

$$\xi(x) = x f_2(x^2) \text{ であり、}$$

$$\xi(x)^3 - \xi(x) + x = 0$$

この式

$$\xi(x) = \frac{2}{\sqrt{3}} \sin \left( \frac{1}{3} \arcsin \frac{3\sqrt{3}}{2} x \right), \quad 0 \leq x \leq \frac{2}{3\sqrt{3}}$$

であり、Zeta 関数  $\zeta_{D_{G_2}}(x)$  は、この  $\xi(x)$  を使って

$$\begin{aligned} \zeta_{D_{G_2}}(x) &= \frac{\xi(x)}{x(2\xi(x)^2 + \xi(x) - 1)^2} \\ &= \frac{\xi(x)}{x(\xi(x)+1)\{-4x + \xi(x)+1\}} \end{aligned}$$

位相エンタルピー  $h_{\text{top}}(D_{G_2})$  は

$$h_{\text{top}}(D_{G_2}) = 3 \log 2 - \log 3 = \log \frac{8}{3} \quad \text{となります。}$$

よから

わかるように、具体的なグラフに対する Zeta 関数のシフトの計算は、 $G_2$  のような簡単なグラフでも、それほどきれいな形になりませんが、元々張って他のグラフに対しても、計算していいと思います。

この研究集会をお世話下さった山ノ内さんにたいへん感謝いたします。